

Всеукраїнський
науково-технічний
журнал



1(27)

2010

ISSN 1994-4691



9 771994 469005

Редакційна колегія:

Головний редактор:

к.т.н., проф. Серада В.П. (м. Вінниця)

Перший заступник

головного редактора:

д.т.н., проф. Зайончковський Г.Й.,
президент АС ПГП (НАУ, м. Київ)

Заступники головного редактора:

д.т.н., д-р ф. Струтинський В.Б. (м. Київ)

д.т.н., проф. Яхн О.М. (м. Київ)

к.т.н., проф. Іванов М.І. (м. Вінниця)

к.т.н., с.н.с. Бадах В.М (м. Київ)

Члени редакційної колегії:

д.т.н., д-р ф. Аксенюк В.Ф. (м. Вінниця)

д.т.н., проф. Гаркавий А.Д. (м. Вінниця)

д.т.н., проф. Лисогор В.М. (м. Вінниця)

д.т.н., проф. Ісаєвич-Лотоцький Р.Д.

(м. Вінниця)

д.т.н., проф. Бочаров В.П. (м. Київ)

д.т.н., проф. Лур'є З.Я. (м. Харків)

д.т.н., проф. Нахайчук О.В. (м. Вінниця)

д.т.н., Паламарчук І.П. (м. Вінниця)

д.е.н., Калетник Т.М. (м. Вінниця)

Секретаріат:

Відповідальний секретар:

к.т.н., доц. Переяславський О.М.
(м. Вінниця)

Заступників відповідального секретаря:

д.т.н., проф. Луговський О.Ф. (м. Київ)

к.т.н., доц. Верба І.І. (м. Київ)

Асоційовані члени редакційної колегії
від розібрання України:

д.т.н., проф. Кузнецов Ю.М. (м. Київ)

д.т.н., проф. Павлович І.І.
(м. Кривоград)

д.т.н., проф. Сахне Ю.О. (м. Чернігів)

д.т.н., проф. Усов А.В. (м. Одеса)

д.т.н., проф. Батлук В.Д. (м. Львів)

д.т.н., проф. Михайлів О.М.

(м. Дніпро)

д.т.н., проф. Мельничук П.П.
(м. Житомир)

д.т.н., проф. Ковалев В.Д.
(м. Краматорськ)

д.т.н., проф. Фінкельштейн З.Л.

(м. Алчевськ)

д.т.н., проф. Проволоцький О.С.

(м. Дніпропетровськ)

к.т.н., проф. Сєтуненко А.О. (м. Суми)

д.т.н., проф. Осенін Ю.І. (м. Луганськ)

д.т.н., проф. Слюзаревський О.М.

(м. Санкт-Петербург, Росія)

д.т.н., проф. Панченко А.І.

(м. Миколаїв)

к.т.н. Корнютин В.В. (м. Київ)

д.т.н. Траєнов В.А. (м. Київ)

к.т.н., доц. Жук В.М. (м. Львів)

ПРОМИСЛОВА ГІДРАВЛІКА І НЕВМАТИКА

№1(27)
2010

Всесуспільний науково-технічний журнал

Журнал засновано у березні 2003 р.

Свідоцтво про реєстрацію №В № 7033, видавець
Державним комітетом інформаційної політики,
телекомуникацій і радіовипускання України 7.03.2003 р.

Засновники: Вінницький державний аграрний університет,
Асоціація спеціалістів промислової гідрравліки і пневматики

Номер друкується згідно з рішенням Вченого ради ВДАУ (протокол №17 від 26.01.2010 р.)

Журнал рішенням прації ВАН України від 30 червня 2004 р. № 3-65/7 включено в перелік
наукових фахових видань (бюлетень ВАН України, № 8, 2004 р.)

ЗМІСТ

Загальні питання промислової гідрравліки і пневматики

Н.І. Библюк, О.А. Стираківський, О.С. Мачуга

Науково-технічні аспекти запобігання негативному впливу

господарської діяльності на довкілля 3

М.Г. Бойко, О.А. Геммерлінг

Дослідження сил у ударі гідроміпульсного струменя при проходженні його

через шар зернистого піску різної вологості 10

Г.О. Мазяр, І.О. Гузьова, Я.М. Ханик

Вивчення гідродинаміки при фільтрації теплоносія крізь сухі шари фосфатіту 13

І.А. Емельянова, А.А. Задорожний, С.А. Бузенко

Залежність складності дії джгутика частин бетонної смесі від наочальних умов

робочого процеса при використанні малогабаритного обладнання 16

А.Г. Виноградов

Математичне моделювання розподілу концентрації та швидкостей крапель

у водяній завісі 20

М.П. Кулик

Про можливі енергоефективні підходи в процесі виробництва тепловог

та електричної енергії 23

Р.С. Мягкожіб

Моделювання тепломасообмінних процесів при сушці деревини:

алгоритмування розрахунку 27

Прикладна гідромеханіка, гідромашини і гідропневмоагрегати

В.А. Батлук, І.В. Проскуріна, А.В. Ляшенко

Математична модель процесу очищування запиленого потоку

у відцентрово-інерційних пиловловлювачах 31

А.Ф. Луговской, В.П. Фесич, А.В. Мовчанюк

Методика расчета ультразвуковых высокочастотных резонансных приводов

для квантитативных технологий 37

В.І. Сівецький, Д.Д. Рабінік, О.Я. Сокольський

Вплив ефективного ковзання на параметри потоку кінематонівської рідини 41

Асоційовані зарубіжні члени редакційної
мілітегі:

- д.т.н., проф. Попов Д.М.
(м. Москва, Росія)
д.т.н., проф. Ермаков С.О.
(м. Москва, Росія)
д.т.н., проф. Іванов Г.М.
(м. Москва, Росія)
д.т.н., проф. Нагорний В.С.
(м. Санкт-Петербург, Росія)
д.т.н., проф. Чегодаєв Д.С.
(м. Самара, Росія)
к.т.н., с.н.с. Малишев С.А.
(м. Москва, Росія)
к.т.н., доц. Ащеулов О.В.
(м. Санкт-Петербург, Росія)
к.т.н., с.н.с. Колеватов Ю.В.
(м. Новосибірськ, Росія)
д.т.н., проф. Нетюк Н.Ф.
(м. Мінськ, Республіка Білорусь)
к.т.н., проф. Немировський І.А. (Ізраїль)
д.т.н., проф. Врублевський А. (Польща)
д.т.н., проф. Кристов Х. (Болгарія)
д.т.н., проф. Неделчева П. (Болгарія)

Адреса редакції:

21008, м. Вінниця
вул. Соцічна, 3,
Вінницький державний аграрний
університет
тел.: (0432) 57-42-27, 43-72-30
e-mail: Jurnal@vsau.org



ГЛОБУС-ПРЕС

21021, м. Вінниця, 600-річчя, 15
Свідоцтво про внесення до Державного
реєстру ДК № 1877
тел. (+38 0432) 67-58-92

E-mail: globusp@svitonline.com

Технічний редактор О.А. Мельниченко
Комп'ютерна верстка О.В. Ступак
Коректор С.Н. Гонта

Здано до набору 11.01.2010.
Підписано до друку 21.02.2010.
Формат 60x84/16. Папір офсетний.
Гарнітура JOURNAL. Друк офсетний.
Ум. друк. арк. 21. Зак. № 09-41.
Нахлад 100 прим.

ЗМІСТ

С.В. Носко, С.А. Чистяков, А.В. Котелевець <i>Оцінка структури потоку фотозмульсії в розподільчих каналах многощечевої голівки</i> 44
Р.М. Гнатів, І.Ф. Рип'як, В.В. Чернюк <i>Дослідження неусталованого середовища трубопроводів гідравлічних систем методами візуалізації</i> 47
А.А. Етушленко, С.О. Луговая, Л.Л. Ольштинський, И.Б. Твердохлеб <i>Исследование промежуточной ступени центробежного насоса с уменьшенными массо-габаритными характеристиками в диапазоне $n = 120-140$</i> 52
С.О. Хованський <i>Вимоги до форм енергетичних характеристик відцентрових насосів гідравлічних мереж комунального водопостачання</i> 56
А.Г. Гусак, В.А. Панченко, И.В. Острівський <i>Некоторые подходы и методики проектирования направляющих аппаратов осевых погружных моноблочных насосов</i> 61
А.Н. Гульн, А.Н. Зубахин <i>Совершенствование конструкций центробежных насосов, основанное на использовании демпфирующих эффектов щелевых уплотнений проточных частей</i> 65
Д.М. Кащуба, О.М. Яхно, В.С. Кривошеєв, О.В. Кривошеєва <i>Метод расчета потерь енергии при течении аномально-вязких жидкостей в конических щелевых зазорах</i> 68

Системи приводів. Технологія і обладнання машинобудівного виробництва. Мехатроніка

З.Я. Лурье, А.И. Гасюк <i>Определение аппроксимирующих уравнений нагрузки на гидростатический подшипник гидроагрегата подъема вала паровой турбины</i> 71
В.Б. Струтинський, Д.Ю. Федоринець <i>Моделювання тракторного просторового руху опорних точок шиндаеля на основі стохастичної математичної моделі</i> 75
В.В. Дубінський, С.П. Кулініч, В.П. Чуйко <i>Математична модель вібраційного гідравлічного привода преса для утилізації відходів деревообробних підприємств</i> 81
Р.Д. Іскович-Лотоцький, М.О. Мовчанюк, М.В. Бакало <i>Вимірювальний початок для визначення робочих параметрів технологічних машин з гідроімпульсним приводом</i> 86
В.І. Носуленко, О.С. Чумаченко <i>Підродинамічні характеристики потоку в зоні обробки електричною дуговою чи вибучаючою функтором при конструкуванні електродо-інструмента</i> 90

Механізація сільськогосподарського виробництва

А.А. Папченко, С.Ф. Ковалев, В.В. Колочієць, М.С. Овчаренко <i>Шляхи підвищення ефективності роторних теплогенеруючих агрегатів-томогенізаторів</i> 67

В.В. Дубінський,
С.П. Кулініч, канд. техн. наук,
Чуйко В.П.
Сумський державний університет

МАТЕМАТИЧНА МОДЕЛЬ ВІБРАЦІЙНОГО ГІДРАВЛІЧНОГО ПРИВОДА ПРЕСА ДЛЯ УТИЛІЗАЦІЇ ВІДХОДІВ ДЕРЕВООБРОБНИХ ПІДПРИЄМСТВ

Приведене описание гідравлического вібраційного привода преса для брикетування отходов деревообрабатуючої промисловості. Для определения динамических характеристик разработана математическая модель вибрационного привода, учитывающая двухфазность и сжимаемость рабочей жидкости и нелинейность характеристик элементов привода.

The paper presents the description of a vibrating hydraulic drive of the press for briquetting of wastes of woodworking enterprises. In order to determine the dynamic characteristics, a mathematical model of the vibrating hydraulic drive was developed. The model takes into account the two-phase character and compressibility of the working fluid and non-linearity of characteristics of the elements of the drive.

Проблема і йї зв'язок з науковими і практичними задачами

Ефективність використання технологічного обладнання значного мірою залежить від можливості прогнозування характеристик силових приводів, які в цьому застосовуються. У переважній більшості сучасних технологічних машин для привода робочих органів застосовуються гідравлічні системи, які розвивають значні зусилля при малих табариках і масі. Для лінійних технологічних процесів (зокрема для брикетування відходів деревообробних підприємств) бажано на головний рух робочого механізма налаштувати вібрацію. При вібраційному пресуванні покращуються властивості брикетів – вони більше ущільнюються, тому зменшується їх об'єм, водночас і площа, необхідна для їх зберігання.

Тому розробка математичної моделі вібраційного гідравлічного привода преса для брикетування відходів деревообробних підприємств з метою дослідження динамічних характеристик є актуальним науковою задачою.

Аналіз досліджень і публікацій

У багатьох випадках для привода робочих органів технологічного обладнання застосовуються вібраційні гідравлічні приводи, дослідження роботи яких проводиться різними авторами [1, 2].

Відома математична модель гідроімпульсного привода преса для пресування заготовок з порошкових матеріалів у прес-формах закритого типу при інерційному навантаженні [2]. Принципові схеми вібраційних приводів показано на рис. 1. Відміна цих схем позначається способом підключення віброзбуджувача Р до порожнини тілоциліндра Ц. Розрізняють два способи підключення віброзбуджувача:

- «на вихід» — коли періодичне з'єднання робочої порожнини тілоциліндра Ц з наліпнотою гідролінією та зі зливом здійснюється через віброзбуджувач Р (рис. 1а, б);

- «на вихід» — коли робоча порожнina гідролінія Ц з'єднана з наліпнотою лінією безпосередньо, а зі зливом її періодично з'єднує віброзбуджувач Р (рис. 1в).

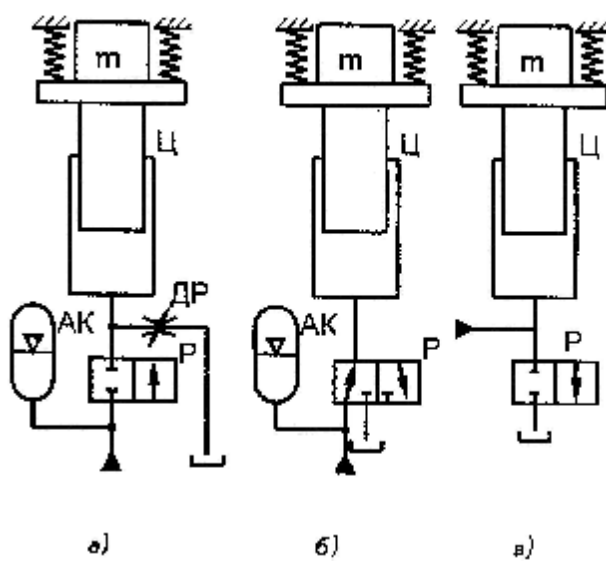


Рис. 1. Принципові схеми вібраційного приводу.

Циклограмми зміни тиску в наліпній лінії гідравлічного двигуна для цих гідравлічних приводів з примусовим і автоматичним відкриттям регулюючого елемента віброзбуджувача показано на рис. 2.

Аналіз типових циклограмм зміни тиску в наліпній лінії гідросистеми з віброзбуджувачем, запірний клапан якого відкривається примусово згідно із заданим періодичним законом (рис. 2а) або автоматично, в результаті реалізації зворотного зв'язку за тиском, як показано на рис. 2б.

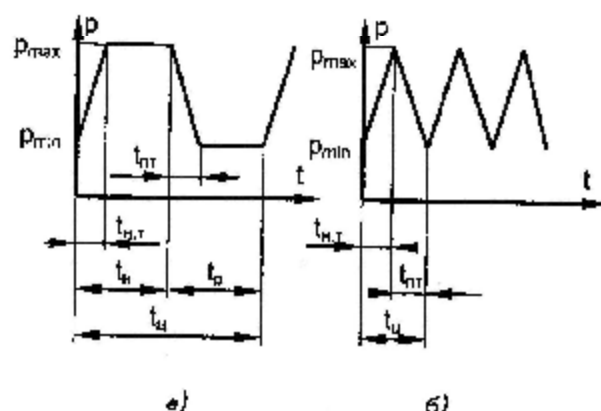


Рис. 2. Циклограмми зміни тиску в напірній лінії гідроприводу.

При примусовому відкритті регулюючого елемента віброзбуджувача тиск у гідросистемі змінюється з періодом t_p (рис. 2а). Збільшення тиску відбувається при закритому регулюючому елементі, а зменшення – при відкритому. Наприклад, для симетричного циклу керування регулюючий елемент віброзбуджувача закритий впродовж часу t_n , а впродовж часу t_p – відкритий [2]. У загальному випадку поплач насоса і параметри напірної лінії гідросистеми (їх об'єм та коефіцієнт об'ємної деформації рідини) визначають час набору тиску в гідросистемі t_{np} до величини P_{max} . Оскільки в гідросистемах з примусовим відкриттям регулюючого елемента віброзбуджувача тиск P_{max} відповідає тиску настроювання запобіжного клапана P_{kz} , то з зменшенням частоти вібрації робочої ланки (що відповідає збільшенню t_p , а, отже, і $t_n > t_{np}$) немилучі додаткові втрати енергії. Впродовж часу $\Delta t = t_n - t_{np}$ насос привода працює на злип через запобіжний клапан, при цьому він додатково споживає енергію ΔE_{vpr} . Накопичена в гідросистемі за час t_{np} енергія передається робочій ланці машини при відкритому регулюючому елементі віброзбуджувача, що супроводжується падінням тиску від P_{max} до P_{min} за час t_{np} , який у загальному випадку визначається сумарною поплачкою насоса та акумулятора $Q_E = Q_n + Q_a$ та площею робочих шлінг регулюючого елементу віброзбуджувача.

При автоматичному відкритті регулюючого елемента віброзбуджувача додаткові втрати енергії ΔE_{vpr} відсутні у зв'язку з тим, що тиск P_{max} відповідає тиску початку спрацювання віброзбуджувача ($P_{max} < P_{kz}$), тобто $\Delta t = 0$ і $t_n = t_{np}$. Для забезпечення розрахункової тривалості імпульсу тиску в порожнині гідроциліндра робочої ланки машини час відкриття регулюючого елемента віброзбуджувача на величину умовного проходу повинен обиратись з умови $t_p \geq t_{np}$. Період t_p спрощує спрацювання віброзбуджувача з автоматичним відкриттям регулюючого елемента (зі зворотним зв'язком за тиском) визначає частоту генерування імпульсів тиску робочої рідини у порожнині притиснутого гідроциліндра. Для постійного зворотного зв'язку ($P_{max} = const$, $P_{min} = const$) регулювання частоти ходу робочої ланки машини можна

забезпечити тільки зміною часу відкриття та закриття регулюючого елемента віброзбуджувача, оскільки для незмінних параметрів гідросистеми час набору та ладіння тиску ($t_{np} = const$, $t_{np} = const$).

Розглянуті схеми вібраційного приводу забезпечують періодичне коливання вихідної ланки гідролічного двигуна відносно визначеного початкового положення. Для пресування відходів деревини необхідно забезпечити переміщення вихідної ланки двигуна з навантаженням на це переміщення вібрацію. Водночас змінюється зусилля, яке повинен розвивати гідроциліндр через ущільнення відходів.

Однією з основних особливостей гідролічного привода преса для брикетування відходів є також застосування гідролічного циліндра з двома поршнями, які працюють на одне навантаження (рис. 3). Цитування моделювання таких гідросистем у відомих літературних джерелах наведено недостатньо повно.

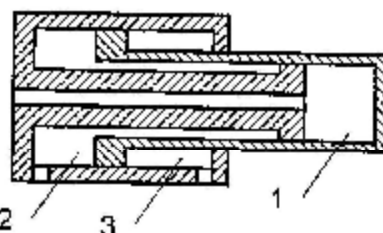


Рис. 3. Конструктивна схема гідроциліндра.

Постановка задачі

Необхідно розробити математичну модель вібраційного привода преса для брикетування обшилувань, яка враховує особливості роботи гідролічного циліндра з двома поршнями, двухфазність і стисливість робочої рідини, а також нелінійність характеристик елементів привода.

Викладення матеріалу і результати

Гідролічний циліндр для пресування віткощів деревини (рис. 3) має три порожнини. При висуванні штока робоча рідина подається в порожнину 1 або одночасно в порожнини 1 і 2 та витісняється з порожнини 3, а при втягуванні – подається в порожнину 3 та витісняється з порожнини 1 і 2.

Принципову схему гідролічного привода преса для брикетування віткощів деревообробних підприємств показано на рис. 4. Розподільник Р1 керує роботою гідроциліндра Ц. При включені правого електромагніта розподільника Р1 робоча рідина подається в малу поршневу порожнину головного гідроциліндра. При цьому у великій поршневій порожнині рідина перемокується через гідрозамок ГЗ, який виконує функцію клапана швидкого наливання. Відбувається режим попереднього пресування. Режим попереднього пресування триває до спрацювання реле тиску РТ1, яке включає електромагніт розподільника Р2. Робоча рідина під тиском подається у велику поршневу порожнину головного гідроциліндра і відбувається пресування віткощів. Після закінчення пресування поршень головного гідроциліндра повертається у початкове положення,

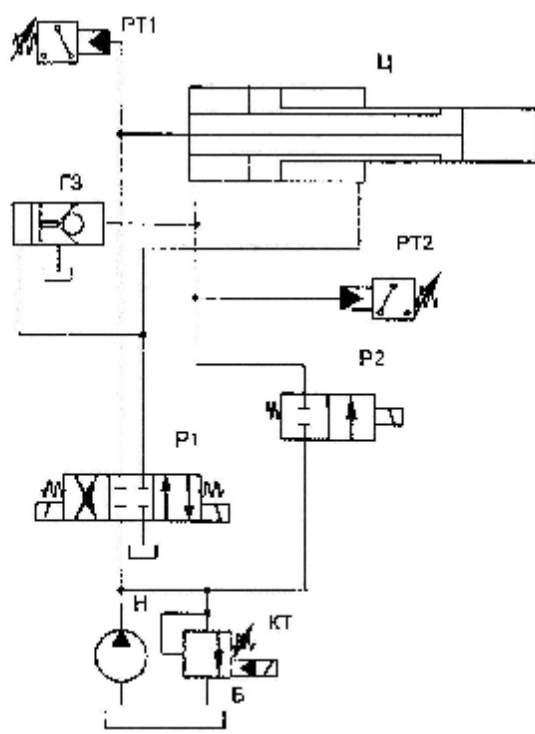


Рис. 4. Принципова схема гідравлічного привода преса.

Для накладення вібрації на головний рух віброзбудувач можна встановити:

- у лінію подачі рідини в порожнину 1 гідроциліндра (рис. 5а);
- у лінію подачі рідини в порожнину 2 гідроциліндра (рис. 5б);
- у лінію подачі рідини в порожнину 1 і 2 гідроциліндра (рис. 5в).

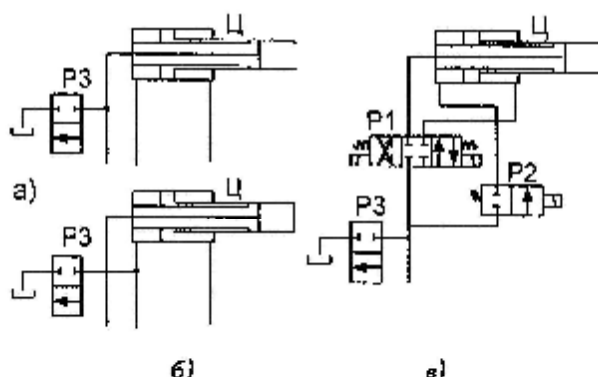


Рис. 5. Схеми встановлення віброзбудувача.

Робота гідравлічного привода з віброзбудувачем, встановленим у лінію подачі рідини в малу порожнину гідроциліндра за схемою «на виході», описується системою рівнянь:

- рівняння руху поршня гідроциліндра

$$m_p \frac{d^2 y}{dt^2} = \sum P_{\text{н}}, \quad (1)$$

де m_p — приведена до штоку маса рухомих частин приводу та механізма преса; y — переміщення поршня; $\sum P_{\text{н}}$ — сума сил, прикладених до штоку:

- сума сил, прикладених до штоку P_p

$$\sum P_{\text{н}} = P_p - P_{\text{рв}} - P_{\text{тр}}, \quad (2)$$

де P_p — сила дії робочої рідини на поршень; $P_{\text{рв}}$ — сила пресування; $P_{\text{тр}}$ — сила, що виникає внаслідок трітя;

- сила, зумовлена тиском робочої рідини на поршень

$$P_p = F_1 p_1 + F_2 p_2 - F_3 p_3, \quad (3)$$

де F_1, F_2, F_3 — площини поршня малої, великої та штокової порожнин гідроциліндра; p_1, p_2, p_3 — тиск у порожнинах гідроциліндра;

- тиск у порожнинах гідроциліндра залежить від етапу робочого циклу тільки тільки вібраційного привода:

- етап набору тиску (розподільник Р3 закрито)

$$\frac{dp_1}{dt} = \frac{1}{\beta_1} \left(Q_{1,p1} - F_1 \frac{dy}{dt} \right), \quad (4)$$

$$\frac{dp_2}{dt} = \frac{1}{\beta_2} \left(Q_{2,p2} - F_2 \frac{dy}{dt} \right), \quad (5)$$

$$\frac{dp_3}{dt} = \frac{1}{\beta_3} \left(Q_{3,p3} - F_3 \frac{dy}{dt} \right), \quad (6)$$

де $\beta_1, \beta_2, \beta_3$ — приведений коефіцієнт об'ємної деформації робочої рідини та порожнин; $Q_{1,p1}, Q_{2,p2}, Q_{3,p3}$ — витрати рідини у робочих щілинках розподільників;

- етап падіння тиску (розподільник Р3 відкрито)

— рівняння (5), (6) залишаються незмінними, рівняння для визначення тиску в малій порожнині гідроциліндра має вигляд

$$\frac{dp_1}{dt} = \frac{1}{\beta_1} \left(Q_{1,p1} - F_1 \frac{dy}{dt} - Q_{p3} \right), \quad (7)$$

приведений коефіцієнт об'ємної деформації робочої рідини та порожнин [3]

$$\beta_i = \frac{V_{p,i}}{E_p} + \frac{V_{p,i}}{E_{n,i}} + \frac{V_{p,i}}{n p_i}, \quad (8)$$

де $V_{p,i}$ — об'єм робочої рідини; $V_{n,i}$ — об'єм порожнини з пружними стінками; E_p — об'єм нерозчинених газів у робочій порожнині; $E_{n,i}$ — модуль об'ємної пружності рідини; $E_{n,i}$ — модуль об'ємної пружності стінок ворожини; n — коефіцієнт вищітропії;

- витрати рідини в робочих щілинках розподільників [3]

$$Q_{1P} = f_{e,1P} \sqrt{\frac{2|p_s - p_1|}{\rho}} \operatorname{sgn}(p_s - p_1), \quad (9)$$

$$Q_{2P} = f_{e,2P} \sqrt{\frac{2|p_s - p_2|}{\rho}} \operatorname{sgn}(p_s - p_2), \quad (10)$$

$$Q_{3P} = f_{e,3P} \sqrt{\frac{2|p_s - p_3|}{\rho}} \operatorname{sgn}(p_s - p_3), \quad (11)$$

$$Q_{nP} = f_{e,nP} \sqrt{\frac{2|p_s - p_n|}{\rho}} \operatorname{sgn}(p_s - p_n), \quad (12)$$

де $f_{e,P}$ — ефективна площа (з урахуванням опору каналів для проходу рідини) робочих шарін розподільників; p_s — тиск на вході в розподільники; p_n — тиск на виході з розподільників;

— ефективні площи розподільників залежать від зміщення їх робочих органів (золотників), коефіцієнтів витрат, та форми каналів для проходу робочої рідини. Ця залежність масивна [1]

$$\frac{1}{f_{e,i}^2} = \frac{1}{f_{e,n,i}^2} + \frac{1}{f_{e,m,i}^2} + \frac{1}{f_{e,s,i}^2}, \quad (13)$$

де $f_{e,i}$ — ефективна площа i -го апарату; $f_{e,n,i}$ — ефективна площа каналів для підведення робочої рідини i -го апарату; $f_{e,m,i}$ — ефективна площа робочих шарін i -го апарату; $f_{e,s,i}$ — ефективна площа каналів для відведення робочої рідини i -го апарату;

— ефективна площа каналів для підведення (відведення) робочої рідини

$$f_{e,n(i),i} = \frac{f_{n(i)i}}{\sqrt{\sum \xi_i}}, \quad (14)$$

де $f_{n(i),i}$ — площа каналів для підводу (відводу) робочої рідини i -го апарату; $\sum \xi_i$ — загальний коефіцієнт опору каналів;

— ефективна площа робочих шарін i -го апарату

$$f_{e,m,i} = \mu_i f_i(x_i), \quad (15)$$

де μ_i — коефіцієнт витрат робочих шарін i -го апарату; $f_i(x_i)$ — площа робочих шарін i -го апарату; x_i — зміщення робочого органу i -го апарату;

— площа робочих шарін для гідроциліндрических розподільників, якщо застосувати зазором між золотником та отвором в гільзі (корпусі) [3]

$$f(x_i) = \begin{cases} 0 & \text{при } x_i < x_\delta, \\ \pi d_s (x_i - x_\delta) & \text{при } x_\delta \leq x_i \leq x_0, \\ \pi d_s (x_0 - x_\delta) & \text{при } x_i > x_0, \end{cases} \quad (16)$$

де x_δ — величина додатного перекриття пояском золотника канавки в гільзі (корпусі) розподільника; x_0 — зміщен-

ня золотника до повного відкриття канавки; d_s — діаметр золотника.

При врахуванні лазеру між золотником і отвором у гільзі (корпусі) залежність (16) ускладнюється.

— зміщення золотника від часу для розподільників [3]

$$x_i = \begin{cases} 0 & \text{при } t < t_s, \\ x_{max} \frac{(t - t_s)}{(t_c - t_s)} & \text{при } t_s < t \leq t_c, \\ x_{max} & \text{при } t > t_c, \end{cases} \quad (17)$$

де t — час запізнення при спрашуванні розподільника; t_c — час спрашування розподільника.

сила, що виникає в результаті пресування залежить від складу відходів, їх вологості та величини стиснення. У першому наближенні її можна визначати за формулою

$$P_{np} = \sigma_0 F_{np} \left(1 - e^{-3.693 \frac{\delta V}{\delta V_{25}}} \right), \quad (18)$$

де σ_0 — межа міцності пресованого брикуту; F_{np} — площа пресування брикуту; δV — вільносна зміна об'єму брикуту; δV_{25} — вільносна зміна об'єму брикуту, що відповідає нарузі;

— сили, що виникають внаслідок тертя в гідроциліндри та механізмі пресування [4]

$$P_{mp} = P_{a,mp} + P_{c,mp}, \quad (19)$$

де $P_{c,mp}$ — сила контактного тертя; $P_{a,mp}$ — сила в'язкого тертя;

— сила контактного тертя

$$P_{a,mp} = \begin{cases} |P_{a,mp}| \operatorname{sgn}(v) & \text{при } v \neq 0 \\ P_a & \text{при } v = 0 \text{ и } |P_{a,mp}| > |P_a| \\ P_{a,mp} \operatorname{sgn}(P_a) & \text{при } v = 0 \text{ и } |P_{a,mp}| < |P_a| \end{cases} \quad (20)$$

де $|P_{a,mp}|$ — сила тертя під час руху механізму; $|P_{a,mp}|$ — сила тертя під час зупинки механізму; v — швидкість руху штока; P_a — сума активних сил, що діють на шток. До активних сил належать сили від тиску робочої рідини на поршень гідроциліндра та сила, що виникає в результаті пресування;

— сила в'язкого тертя

$$P_{c,mp} = k_{c,mp} \frac{dy}{dt}, \quad (21)$$

де $k_{c,mp}$ — коефіцієнт в'язкого тертя.

— тиск на вході в розподільники залежить від навантаження гідроциліндрического привода.

При зусиллі P_{np} , що менше за розрахункове, клапан тиску КТ (рис. 4) працює в режимі запобіжного, вся рідина, яку полас насос, іде в гідросистему:

$$\frac{dp_n}{dt} = \frac{1}{\beta_n} (Q_{n0} - Q_{F1} - Q_{r1} - Q_{vap}), \quad (22)$$

де Q_{n0} — теоретична подача насоса; Q_{vap} — витоки рідини; β_n — приведений коефіцієнт об'ємної тафорзації робочої рідини та порожнини.

При розрахунковому зусиллі P_{np} клапан тиску працює в режими нереліївного, частина рідини, яку піддає насос, іде на злив:

$$\frac{dp_n}{dt} = \frac{1}{\beta_n} (Q_{n0} - Q_{vap} - Q_{r2} - Q_{vap} - Q_{F1}), \quad (23)$$

де Q_{r2} — втрати рідини через клапан тиску.

Теоретична подача насоса

$$Q_{n0} = V_{sg} n, \quad (24)$$

де V_{sg} — робочий об'єм насоса; n — частота обертання валу насоса.

Витоки рідини

$$Q_{vap} = k_{av} p_n V_{sg} n, \quad (25)$$

де k_{av} — коефіцієнт об'ємних втрат насоса.

Втрати рідини через клапан тиску можна визначати за залежністю

$$Q_{vap} = Q_{ktr} \frac{p_0 - p_n}{Ap_0}, \quad (26)$$

де Q_{ktr} — номінальні втрати рідини через клапан тиску; p_0 — номінальний тиск; Ap_0 — номінальні зміни тиску при зміні витрат через клапан тиску від 0 до Q_{ktr} .

Початкові умови для розв'язання системи рівнянь (1)–(26) визначаються з параметрів закінчення режиму попереднього пресування. Для розрахунку режиму попереднього пресування використовуються рівняння (1), (4), (6), (8), (9), (11–22), (24), (25).

Початкові умови для цього режиму

$$y(0) = 0, \frac{dy}{dt}(0) = 0, x(0) = 0, P_{np}(0) = 0,$$

$$p_n(0) = p_0, p_1(0) = p_2(0) = p_3(0) = p_{11}.$$

У режимі попереднього пресування вібрація не застосовується. Умова закінчення режиму попереднього пресування — це досягнення тиску в порожній і гідроциліндрі (рис. 3) тиску переключення $p_1 < p_{11}$. У режимі основного пресування включається віброзбуджувач і ведеться розрахунок роботи привода у вібраційному режимі.

Висновки

Отримана система рівнянь (1)–(26) дає можливість дослідити динамічні характеристики вібраційного гідропривода преса для брикетування відходів деревообробних підприємств як в режимі попереднього пресування (без накладення вібрації) так і в основному режимі.

Література

1. Баранов В.Н. Захаров Ю.Е. Электрогидравлические и гидравлические вибрационные механизмы (теория, расчет и конструкции). — 2-е изд., перераб. и доп. — М.: Машиностроение, 1977. — 326 с.

2. Ісковіч-Лотоцький Р.Д. Основи теорії розрахунку та розробка процесів обладнання для віброуварювання пресування: Монографія. — Вінниця: Універсум-Вітязь, 2006. — 338 с.

3. Павроцький К.Л. Теория и проектирование гидро- и газомоприводов. — М.: Машиностроение, 1991. — 384 с.

4. Дубинський В.В., Кулочіч С.П. Вплив контактного треніння на движение золотника гидроусилителя // Технологія і технологія друкарства. Збірник наукових праць. Вип. 2-3 (4-5). — К.: НГУУ «КІЦ». — 2004. — С. 79–80.

Надійшла 14.12.2009 р.